

C4 : Modélisation cinématiques des systèmes composés de chaines de solides

C4-6 : Modélisation structurelle des systèmes composés de chaines de solides

Émilien DURIF  
emilien.durif@gmail.com

Lycée La Martinière Monplaisir Lyon  
Classe de MPSI



# Plan

## 1 Représentation graphique des liaisons

- Graphe de structure (ou graphe de liaisons)
- Schéma cinématique

## 2 Liaisons équivalentes

- Liaisons en parallèles
- Liaisons en séries

## 3 Chaînes de solides

- chaînes ouvertes, fermées, complexes
- Exemples



# Plan

## 1 Représentation graphique des liaisons

- Graphe de structure (ou graphe de liaisons)
- Schéma cinématique

## 2 Liaisons équivalentes

- Liaisons en parallèles
- Liaisons en séries

## 3 Chaînes de solides

- chaînes ouvertes, fermées, complexes
- Exemples



## représentation graphique des liaisons

### Définition

On appelle **classe d'équivalence** un ensemble de pièces liées entre elles par des liaisons encastrement.

On notera que toutes les pièces d'une même classe d'équivalence ont alors un même mouvement. L'énumération des différentes classes d'équivalence est un **étape obligatoire** pour l'étude du fonctionnement d'un mécanisme. On les nomme par un numéro.

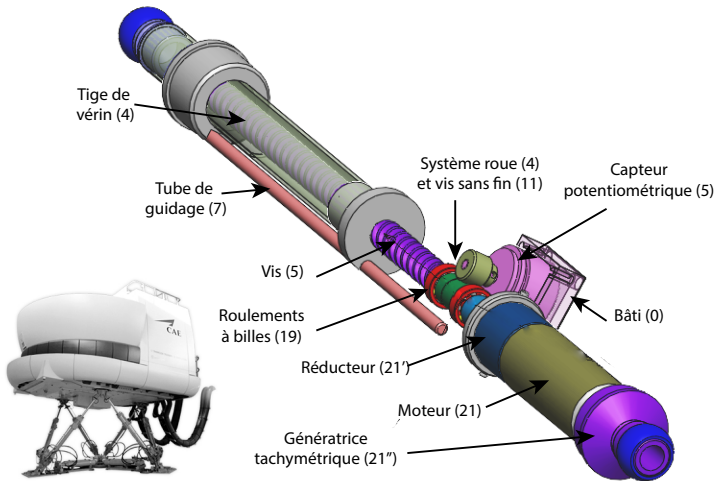
### Définition

Le **graphe de structure** est une représentation schématique de la cinématique d'un mécanisme. Il fait apparaître :

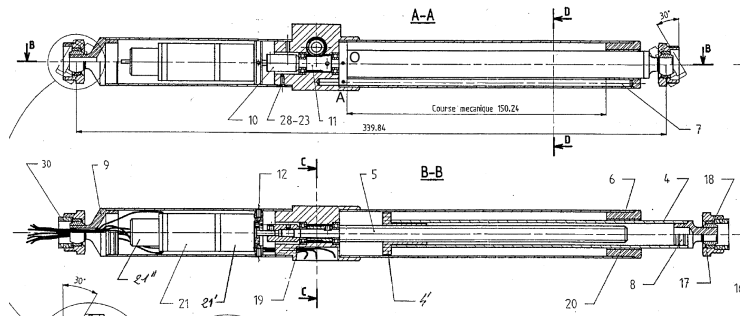
- **Les classes d'équivalence**, représentées par leur numéro, dans un petit cercle,
- **Les liaisons** entre les classes d'équivalence, représentées par des fils reliant les cercles, et renseignés par la définition (complète) de la liaison.



## représentation graphique des liaisons



## représentation graphique des liaisons





## Représentation graphique des liaisons

**Q 1 : Définir les classes d'équivalence**



## Représentation graphique des liaisons

### Q 1 : Définir les classes d'équivalence

carter : ① = {6; 7; 9; 20; 21; 21'; 21"  
12; 14; 17; 18; 19}

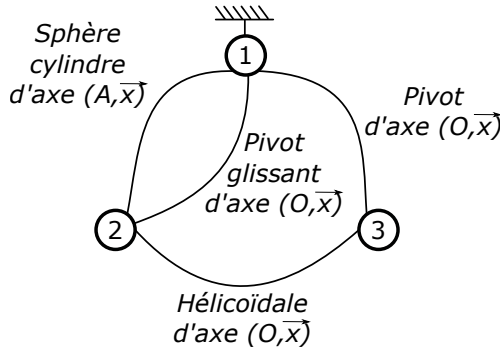
tige (écrou) : ② = {4; 4'; 8}

vis : ③ = {5; 10; 11; }

## Représentation graphique des liaisons

Q 1 : Définir les classes d'équivalence

Q 2 : Donner le graphe des liaisons





## Schéma cinématique

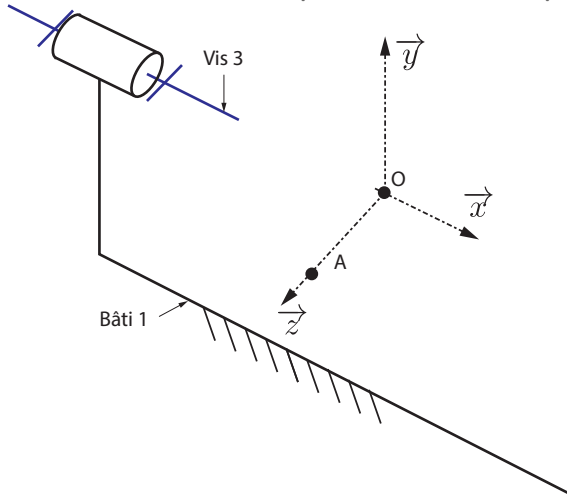
### Schéma cinématique

On appelle **schéma cinématique** la représentation graphique du mécanisme, vu au travers de ses liaisons cinématiques.

- ① Tracer les axes et placer les points caractéristiques du système,
- ② Prévoir une couleur par classe d'équivalence *dans la mesure du possible*,
- ③ Tracer les liaisons aux points concernés et selon les bons axes,
- ④ Relier les éléments de liaisons par des traits (si possible parallèlement aux axes)
- ⑤ Repérer le bâti ou le carter par le symbole de masse :
- ⑥ Repérer les classes d'équivalence par leur numéro.

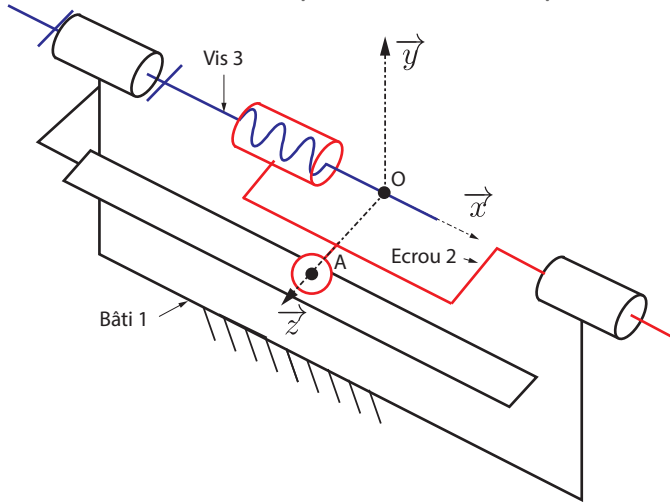
## Schéma cinématique

Q 3 : Réaliser le schéma cinématique en 3D du vérin de la plate-forme



## Schéma cinématique

Q 3 : Réaliser le schéma cinématique en 3D du vérin de la plate-forme





# Plan

## 1 Représentation graphique des liaisons

- Graphe de structure (ou graphe de liaisons)
- Schéma cinématique

## 2 Liaisons équivalentes

- Liaisons en parallèles
- Liaisons en séries

## 3 Chaînes de solides

- chaînes ouvertes, fermées, complexes
- Exemples

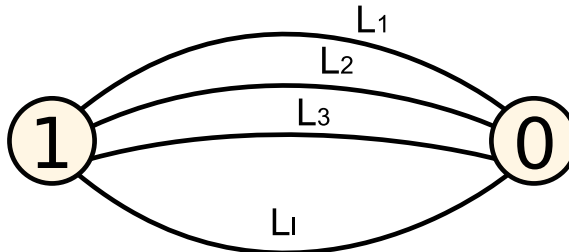
## Liaisons équivalentes : en parallèles

### Liaisons en parallèles

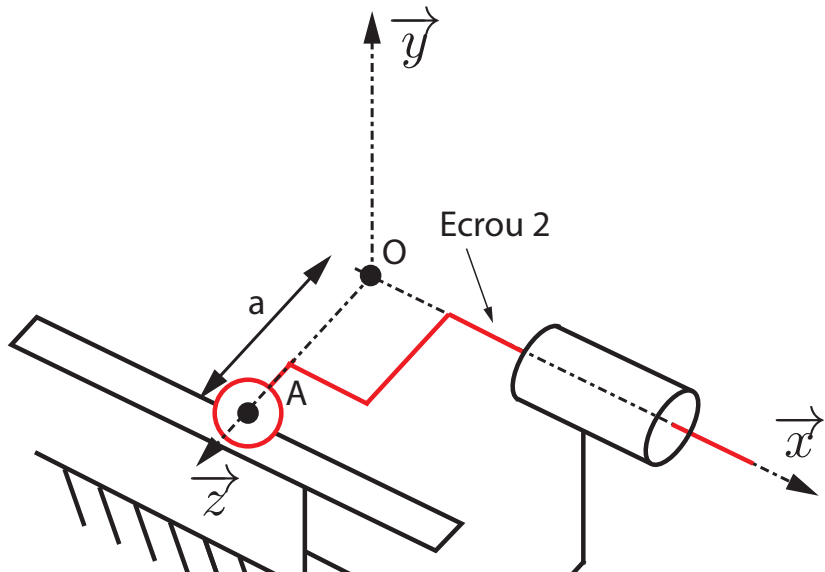
Des liaisons sont en **parallèles** lorsqu'elles relient deux mêmes solides.

On peut alors écrire l'égalité des torseurs cinématique :

$$\left\{ \mathcal{V}_{(S_1/S_0)}^{\text{équivalent}} \right\} = \left\{ \mathcal{V}_{(S_1/S_0)}^{L_1} \right\} = \left\{ \mathcal{V}_{(S_1/S_0)}^{L_2} \right\} = \cdots = \left\{ \mathcal{V}_{(S_1/S_0)}^{L_I} \right\} \quad (1)$$



## Liaisons équivalentes : en parallèles





## Liaisons équivalentes : en parallèles

**Q 4 :** Donner le torseur cinématique de la liaison sphère-plan au point A

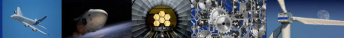
$$\left\{ \mathcal{V}_{(2/1)}^A \right\}_A = \left\{ \begin{array}{cc} p_{21}^A & u_{21}^A \\ q_{21}^A & 0 \\ r_{21}^A & w_{21}^A \end{array} \right\}_R$$

**Q 5 :** Donner le torseur cinématique de la liaison pivot-glissant en O puis en A

$$\left\{ \mathcal{V}_{(2/1)}^O \right\}_O = \left\{ \begin{array}{cc} p_{21}^O & u_{21}^O \\ 0 & 0 \\ 0 & 0 \end{array} \right\}_R = \left\{ \begin{array}{cc} p_{21}^O & -u_{21}^O \\ 0 & -a p_{21}^O \\ 0 & 0 \end{array} \right\}_R$$

Car,

$$\begin{aligned} \vec{\mathcal{V}}(A \in 2/1) &= \vec{\mathcal{V}}(O \in 2/1) + \overrightarrow{AO} \wedge \overrightarrow{\Omega_{(2/1)}} = u_{21}^O \vec{x} - a; \vec{z} \wedge p_{21}^O \vec{x} \\ &= u_{21}^O \vec{x} - a p_{21}^O \vec{y} \end{aligned}$$



## Liaisons équivalentes : en parallèles

**Q 6 : Traduire l'égalité des torseurs et déduire la liaison équivalente**

Égalité de la résultante cinématique :

Égalité des vitesses :

$$\left\{ \begin{array}{l} p_{21}^A = p_{21}^O \\ q_{21}^A = 0 \\ q_{21}^A = 0 \end{array} \right.$$

$$\left\{ \begin{array}{l} u_{21}^A = u_{21}^O \\ 0 = -a \ p_{21}^O \\ 0 = w_{21}^A \end{array} \right.$$

Ainsi,  $p_{21}^O = p_{21}^A = q_{21}^A = r_{21}^A = w_{21}^A = 0$ .

On obtient alors le torseur cinématique équivalent :

$$\left\{ \mathcal{V}_{2/1}^A \right\}_A = \left\{ \begin{array}{cc} 0 & u_{21}^A = u_{21}^O \\ 0 & 0 \\ 0 & 0 \end{array} \right\}_R$$

Ce torseur équivalent correspond au torseur cinématique d'une **liaison glissière de direction**  $\overrightarrow{x}$ .

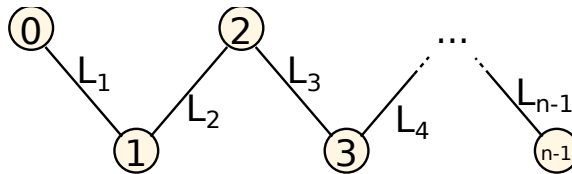
## Liaisons équivalentes : en séries

### Liaisons en séries

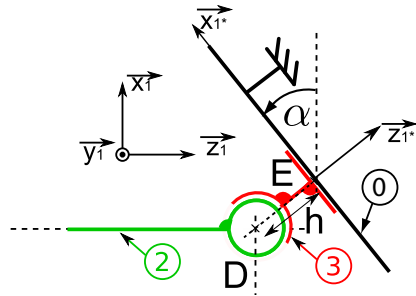
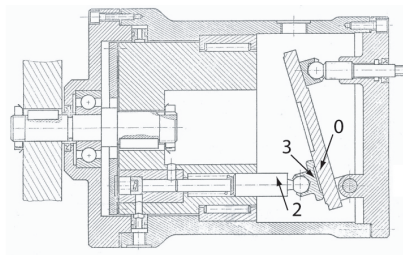
Des liaisons sont en **séries** lorsqu'elles relient des solides successifs.

On utilise alors la fermeture cinématique (composition de tous les torseurs cinématiques sur la chaîne) :

$$\left\{ \mathcal{V}_{(n-1/0)} \right\} = \left\{ \mathcal{V}_{(n-1/n-2)} \right\} + \left\{ \mathcal{V}_{(n-2/n-3)} \right\} + \cdots + \left\{ \mathcal{V}_{(1/0)} \right\} \quad (2)$$

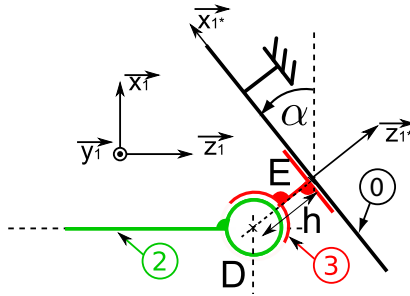


## Liaisons équivalentes : en séries





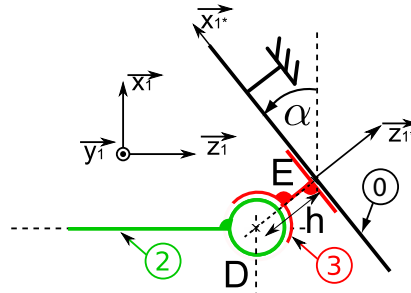
## Liaisons équivalentes : en séries



- Composition du torseur cinématique :

$$\left\{ \gamma_{(2/0)} \right\} = \left\{ \gamma_{(2/3)} \right\} + \left\{ \gamma_{(3/0)} \right\}$$

## Liaisons équivalentes : en séries

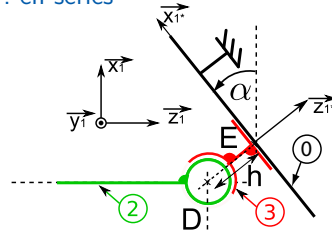


- Composition du torseur cinématique :

$$\left\{ \mathcal{V}_{(2/0)} \right\} = \left\{ \mathcal{V}_{(2/3)} \right\} + \left\{ \mathcal{V}_{(3/0)} \right\}$$



## Liaisons équivalentes : en séries



- Liaison rotule de point  $D$  :

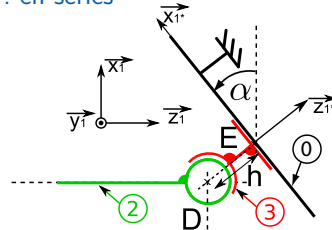
$$\{V_{(S_2/S_3)}\}_D = \begin{Bmatrix} p_{23} & 0 \\ q_{23} & 0 \\ r_{23} & 0 \end{Bmatrix}_{R_1} = \begin{Bmatrix} p*_{23} & 0 \\ q*_{23} & 0 \\ r*_{23} & 0 \end{Bmatrix}_{R_1*} = \begin{Bmatrix} p*_{23} & h \cdot q*_{23} \\ q*_{23} & -h \cdot p*_{23} \\ r*_{23} & 0 \end{Bmatrix}_{R_1*}$$

- Car,

$$\begin{aligned} \overrightarrow{V_{(E \in S_2/S_3)}} &= \overrightarrow{V_{(D \in S_2/S_3)}} + \overrightarrow{ED} \wedge \overrightarrow{\Omega_{(S_2/S_3)}} \\ &= \overrightarrow{0} - h \overrightarrow{z_1^*} \wedge \left( p *_{23} \overrightarrow{x_1^*} + q *_{23} \overrightarrow{y_1^*} + r *_{23} \overrightarrow{z_1^*} \right) \\ &= h \left( q *_{23} \overrightarrow{x_1^*} - p *_{23} \overrightarrow{y_1^*} \right) \end{aligned}$$



## Liaisons équivalentes : en séries



- Liaison rotule de point  $D$  :

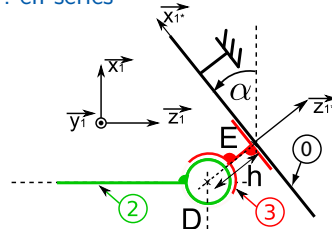
$$\{V_{(S_2/S_3)}\}_D = \begin{Bmatrix} p_{23} & 0 \\ q_{23} & 0 \\ r_{23} & 0 \end{Bmatrix}_{R_1} = \begin{Bmatrix} p*_{23} & 0 \\ q*_{23} & 0 \\ r*_{23} & 0 \end{Bmatrix}_{R_1*} = \begin{Bmatrix} p*_{23} & h \cdot q*_{23} \\ q*_{23} & -h \cdot p*_{23} \\ r*_{23} & 0 \end{Bmatrix}_{R_1*}$$

- Car,

$$\begin{aligned} \overrightarrow{V_{(E \in S_2/S_3)}} &= \overrightarrow{V_{(D \in S_2/S_3)}} + \overrightarrow{ED} \wedge \overrightarrow{\Omega_{(S_2/S_3)}} \\ &= \overrightarrow{0} - h \overrightarrow{z_1} \wedge \left( p *_{23} \overrightarrow{x_1} + q *_{23} \overrightarrow{y_1} + r *_{23} \overrightarrow{z_1} \right) \\ &= h \left( q *_{23} \overrightarrow{x_1} - p *_{23} \overrightarrow{y_1} \right) \end{aligned}$$



## Liaisons équivalentes : en séries



- Liaison rotule de point  $D$  :

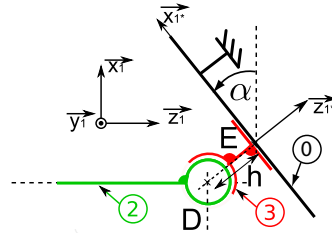
$$\{V_{(S_2/S_3)}\}_D = \begin{Bmatrix} p_{23} & 0 \\ q_{23} & 0 \\ r_{23} & 0 \end{Bmatrix}_{R_1} = \begin{Bmatrix} p*_{23} & 0 \\ q*_{23} & 0 \\ r*_{23} & 0 \end{Bmatrix}_{R_1*} = \begin{Bmatrix} p*_{23} & h \cdot q*_{23} \\ q*_{23} & -h \cdot p*_{23} \\ r*_{23} & 0 \end{Bmatrix}_{R_1*}$$

- Car,

$$\begin{aligned} \overrightarrow{V_{(E \in S_2/S_3)}} &= \overrightarrow{V_{(D \in S_2/S_3)}} + \overrightarrow{ED} \wedge \overrightarrow{\Omega_{(S_2/S_3)}} \\ &= \overrightarrow{0} - h \overrightarrow{z_1^*} \wedge \left( p *_{23} \overrightarrow{x_1^*} + q *_{23} \overrightarrow{y_1^*} + r *_{23} \overrightarrow{z_1^*} \right) \\ &= h \left( q *_{23} \overrightarrow{x_1^*} - p *_{23} \overrightarrow{y_1^*} \right) \end{aligned}$$



## Liaisons équivalentes : en séries



- Liaison plane de normale  $\vec{z}_1^*$  :

$$\{\mathcal{V}_{(S_3/S_0)}\} = \begin{Bmatrix} 0 & u_{30} \\ 0 & v_{30} \\ r_{30} & 0 \end{Bmatrix}_{R_{1*}}$$

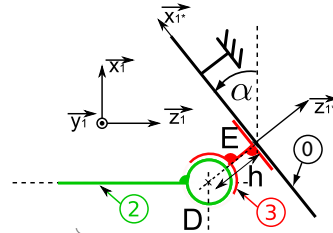
- Finalement on obtient le torseur cinématique équivalent :

$$\boxed{\{\mathcal{V}_{(2/0)}\} = \begin{Bmatrix} p*_{23} & u_{30} + h \cdot q*_{23} \\ q*_{23} & v_{30} - h \cdot p*_{23} \\ r *_{23} + r_{30} & 0 \end{Bmatrix}_{R_{1*}}}$$

- Ce qui correspond à une liaison de type ponctuelle de centre E et de normale  $\vec{z}_{1*}$ .



## Liaisons équivalentes : en séries



- Liaison plane de normale  $\vec{z}_1^*$  :

$$\{\mathcal{V}_{(S_3/S_0)}\} = \begin{Bmatrix} 0 & u_{30} \\ 0 & v_{30} \\ r_{30} & 0 \end{Bmatrix}_{R_{1*}}$$

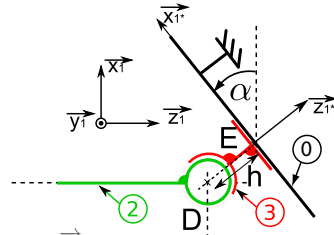
- Finalement on obtient le torseur cinématique équivalent :

$$\boxed{\{\mathcal{V}_{(2/0)}\} = \begin{Bmatrix} p*_{23} & u_{30} + h \cdot q*_{23} \\ q*_{23} & v_{30} - h \cdot p*_{23} \\ r *_{23} + r_{30} & 0 \end{Bmatrix}_{R_{1*}}}$$

- Ce qui correspond à une liaison de type ponctuelle de centre E et de normale  $\vec{z}_{1*}$ .



## Liaisons équivalentes : en séries



- Liaison plane de normale  $\vec{z}_1^*$  :

$$\{\mathcal{V}_{(S_3/S_0)}\} = \begin{Bmatrix} 0 & u_{30} \\ 0 & v_{30} \\ r_{30} & 0 \end{Bmatrix}_{R_{1*}}$$

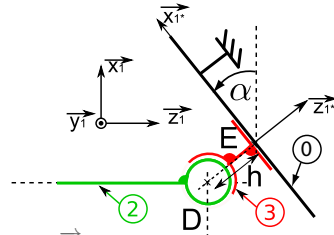
- Finalement on obtient le torseur cinématique équivalent :

$$\left\{ \mathcal{V}_{(2/0)} \right\} = \begin{Bmatrix} p*_{23} & u_{30} + h \cdot q*_{23} \\ q*_{23} & v_{30} - h \cdot p*_{23} \\ r *_{23} + r_{30} & 0 \end{Bmatrix}_{R_{1*}}$$

- Ce qui correspond à une liaison de type ponctuelle de centre E et de normale  $\vec{z}_{1*}$ .



## Liaisons équivalentes : en séries



- Liaison plane de normale  $\vec{z}_1^*$  :

$$\{\mathcal{V}_{(S_3/S_0)}\} = \begin{Bmatrix} 0 & u_{30} \\ 0 & v_{30} \\ r_{30} & 0 \end{Bmatrix}_{R_{1*}}$$

- Finalement on obtient le torseur cinématique équivalent :

$$\left\{ \mathcal{V}_{(2/0)} \right\} = \begin{Bmatrix} p*_{23} & u_{30} + h \cdot q*_{23} \\ q*_{23} & v_{30} - h \cdot p*_{23} \\ r *_{23} + r_{30} & 0 \end{Bmatrix}_{R_{1*}}$$

- Ce qui correspond à une liaison de type ponctuelle de centre E et de normale  $\vec{z}_1^*$ .



# Plan

## 1 Représentation graphique des liaisons

- Graphe de structure (ou graphe de liaisons)
- Schéma cinématique

## 2 Liaisons équivalentes

- Liaisons en parallèles
- Liaisons en séries

## 3 Chaînes de solides

- chaînes ouvertes, fermées, complexes
- Exemples



## Chaînes ouvertes, fermées, complexes

### Systèmes et Chaînes de solide

Un système et composé de **Chaînes de solides** : solides liés par des **liaisons mécaniques**. On peut rencontrer différentes architectures de chaînes de solides :

- **Chaîne ouverte** : Une chaîne de solides  $S_1, S_2, S_3, \dots, S_n$  est ouverte si les solides des extrêmes sont différents.
- **Chaîne fermée** : Une chaîne de solides  $S_1, S_2, S_3, \dots, S_n$  est fermée si le solide initial est le même que le solide final.
- **Chaîne complexe** : Une chaîne de solides  $S_1, S_2, S_3, \dots, S_n$  est complexe si elle comporte plusieurs chaînes ouvertes ou fermées.



## Chaînes ouvertes, fermées, complexes

### Systèmes et Chaînes de solide

Un système est composé de **Chaînes de solides** : solides liés par des **liaisons mécaniques**. On peut rencontrer différentes architectures de chaînes de solides :

- **Chaîne ouverte** : Une chaîne de solides  $S_1, S_2, S_3, \dots, S_n$  est ouverte si les solides des extrêmes sont différents.
- **Chaîne fermée** : Une chaîne de solides  $S_1, S_2, S_3, \dots, S_n$  est fermée si le solide initial est le même que le solide final.
- **Chaîne complexe** : Une chaîne de solides  $S_1, S_2, S_3, \dots, S_n$  est complexe si elle comporte plusieurs chaînes ouvertes ou fermées.



## Chaînes ouvertes, fermées, complexes

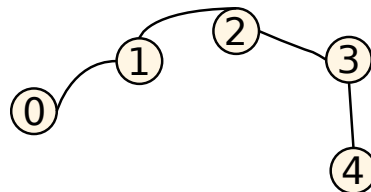
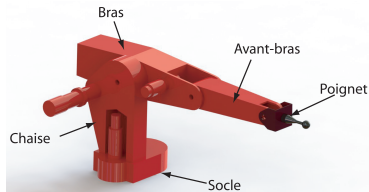
### Systèmes et Chaînes de solide

Un système est composé de **Chaînes de solides** : solides liés par des **liaisons mécaniques**. On peut rencontrer différentes architectures de chaînes de solides :

- **Chaîne ouverte** : Une chaîne de solides  $S_1, S_2, S_3, \dots, S_n$  est ouverte si les solides des extrêmes sont différents.
- **Chaîne fermée** : Une chaîne de solides  $S_1, S_2, S_3, \dots, S_n$  est fermée si le solide initial est le même que le solide final.
- **Chaîne complexe** : Une chaîne de solides  $S_1, S_2, S_3, \dots, S_n$  est complexe si elle comporte plusieurs chaînes ouvertes ou fermées.

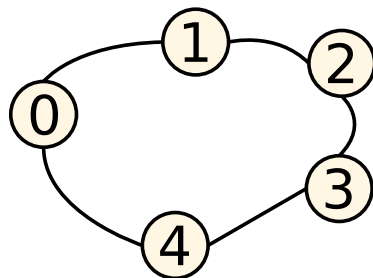
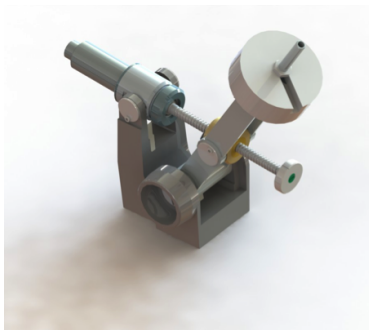
## Chaînes ouvertes, fermées, complexes

chaîne ouverte : Robot Ericc



## Chaînes ouvertes, fermées, complexes

chaîne fermée : Robot Maxpid





## Chaînes ouvertes, fermées, complexes

chaîne complexe : Robot hexapod

